

## 07-D.1.7

**MODELO ANALÍTICO PARA O EQUILÍBRIO MHD, USANDO O MODELO DE SOLOVIEV, NUM TOKAMAK DE BAIXA RAZÃO DE ASPECTO.** Marisa Roberto (Departamento de Física e Química, Universidade Estadual Paulista, Campus de Guaratinguetá) e Ricardo M.O. Galvão (Laboratório Associado de Plasma, Instituto de Pesquisas Espaciais).

Este trabalho tem como objetivo estabelecer sob quais condições ocorre o equilíbrio e a estabilidade do plasma num tokamak de baixa razão de aspecto, usando a solução de Soloviev<sup>1</sup> na equação de Grad-Shafranov. Será mostrado que inserindo-se os perfis de pressão e corrente dados por Soloviev, na equação de Equilíbrio, obtém-se os perfis de campo magnético e expressões para o fator de segurança  $q(\psi)$  e para a grandeza  $\langle\beta_t\rangle$ , relacionadas às condições de equilíbrio e estabilidade. Foi desenvolvido um programa numérico para o cálculo dessas grandezas mostrando sob quais condições ocorre o equilíbrio estável [ $q(\psi) > 1$ ], com  $\langle\beta_t\rangle \approx 4,8\%$ .

**MODELO TEÓRICO**

Na teoria MHD ideal, o plasma é descrito como um fluido condutor ideal (resistividade nula). A equação de Grad-Shafranov é uma equação diferencial parcial de 2ª ordem que engloba todas as equações de equilíbrio MHD estático em configurações axissimétricas<sup>2</sup>, podendo ser obtida das equações de Maxwell, supondo o plasma em equilíbrio e em repouso ( $\vec{V}=0$ ), com condutividade infinita<sup>3</sup>, escritas em coordenadas cilíndricas  $(R, \phi, z)$ , considerando simetria axial, e definindo uma função escalar  $I(R, z) = RB_\phi(R, z)$ , onde  $B_\phi$  é o campo toroidal. Pode ser mostrado<sup>4</sup>, que se introduzirmos uma função fluxo escalar  $\psi$ , o campo magnético total pode ser escrito como

$$\vec{B} = \frac{\vec{\Phi} \times \vec{\nabla} \psi}{R} + B_\phi \hat{\phi} \quad (1)$$

O modelo de Soloviev<sup>1</sup> supõe que os perfis de pressão e corrente são dados por  $\bar{p} = 1 - 4p_1 \bar{\psi}/\alpha^2 B_0$ ,  $\bar{I}^2 = 1 + 4I_1 \bar{\psi}/\alpha^2$ , onde  $I_1$ ,  $p_1$ ,  $\alpha$  e  $B_0$  são constantes. Aqui as variáveis foram normalizadas fazendo  $\bar{R} = R/R_0$ ,  $\bar{z} = z/z_0$ ,  $\bar{p} = p/p_0$ ,  $\bar{\psi} = \psi/\psi_{pol}$  e  $\bar{I} = I/I_0 B_0$ , onde  $R_0$  é a posição do eixo geométrico,  $p_0$  e  $B_0$  são a pressão e o campo magnético no respectivo eixo, e  $\psi_{pol}$  é o fluxo poloidal total entre o eixo magnético e a fronteira do plasma/ $2\pi$ . O parâmetro  $\alpha$  é dado por  $\alpha = R_0^2 B_0 / \psi_{pol}$ ; assim, tem-se  $\bar{\psi} = \alpha \psi / R_0^2 B_0$  e o parâmetro  $\beta_0 = 2\mu_0 p_0 / B_0^2$  é o valor de  $\beta$  no eixo geométrico. Inserindo esses perfis na equação de Grad-Shafranov

$$\bar{R} \frac{\partial}{\partial \bar{R}} \frac{1}{\bar{R}} \frac{\partial \bar{\psi}}{\partial \bar{R}} + \frac{\partial^2 \bar{\psi}}{\partial \bar{z}^2} = - \frac{\alpha^2}{2} \left[ B_0 \bar{R}^2 \frac{d\bar{p}}{d\bar{\psi}} + \frac{d\bar{I}^2}{d\bar{\psi}} \right], \quad (2)$$

obtém-se como solução a função

$$\bar{\psi}(\bar{R}, \bar{z}) = \bar{z}^2 (\bar{R}^2 - I_1) + \frac{p_1 - 1}{4} (\bar{R}^2 - C^2)^2, \quad (3)$$

onde  $C$ ,  $p_1$  e  $I_1$  são constantes.

A determinação das constantes se faz através da aplicação das condições de contorno, a saber  $\psi(R_1, 0) = \psi(R_2, 0) = \psi(R_3, z_3) = \psi_{borda}$ ,  $\partial\psi/\partial R = \partial\psi/\partial z = 0$ , onde  $R_1 = 1-d$ ,  $R_2 = 1+d$ ,  $R_3 = 1-d\delta$  e  $z_3 = \kappa d$ . Dessa forma fica determinada a constante  $C$  (que é a posição do eixo magnético),  $p_1$  e  $I_1$ , dadas por

$$C^2 = 1 + d^2 \quad (4)$$

$$p_1 = \frac{1}{2} \left[ 1 + \sqrt{1 + \frac{\alpha^2 B_0}{d^2}} \right] \quad (5)$$

e

$$I_1 = \frac{p_1 - 1}{4d^2 \kappa^2} (R_3^2 - C^2) + R_3^2 - \frac{\alpha^2 B_0}{4p_1 d^2 \kappa^2}. \quad (6)$$

A barra sobre as quantidades normalizadas foi omitida com o intuito de simplificar a notação. Aqui  $d$  é a meia largura da seção transversal do plasma,  $\kappa = b/d$  é a elongação ( $b$  é a meia altura), e o parâmetro  $\delta$  está relacionado com a triangularidade, isto é,  $\delta = (1-R_3)/d$ . Como  $d$  está normalizado em relação a  $R_0$ , o inverso da razão de aspecto  $(1/\kappa - d/R_0)$  fica simplesmente igual a  $d$ . A fim de que o ponto  $(C, 0)$  seja o eixo magnético, isto é,  $\Delta = \frac{\partial^2 \bar{\psi}}{\partial \bar{R}^2} \frac{\partial \bar{\psi}}{\partial \bar{z}^2} - \left( \frac{\partial^2 \bar{\psi}}{\partial \bar{R} \partial \bar{z}} \right)^2 > 0$ , devemos ter

$$(C^2 - I_1) > 0, \quad (7)$$

e a fim de evitar que a separatriz fique dentro do plasma devemos ter

$$|I_1 - C^2| > 2d. \quad (8)$$

Combinando (7) e (8), tem-se

$$I_1 < (d-1)^2. \quad (9)$$

As grandezas que definem as condições de equilíbrio, a saber  $\langle\beta_t\rangle$  (valor médio de  $\beta$  toroidal), a condição de estabilidade  $q_m$  (fator de segurança no eixo magnético, que deve ser  $\geq 1$ ), podem agora

ser determinadas, sendo dadas por<sup>5</sup>

$$\langle \beta_t \rangle = \beta_0 \frac{\int_{R_1}^{R_2} dR \int_0^{z_b(R)} \left[ 1 - \frac{4P_1}{\alpha^2 \beta_0} \psi(R, z) \right] dz}{\int_{R_1}^{R_2} dR \int_0^{z_b(R)} \left[ 1 + \frac{4I_1}{\alpha^2} \psi(R, z) \right] dz} \quad (10)$$

$$q_m = \frac{\alpha}{2C^2 \sqrt{(P_1-1)(C^2-I_1)}} \quad (11)$$

Aqui  $z_b(R)$  é encontrado fazendo  $\psi_b(R, z) = \psi_{borda}$  (onde pressão = 0). Assim

$$z_b(R) = \frac{\alpha}{4d} \sqrt{\frac{\beta_0}{P_1} \times \frac{4d^2 - (R^2 - C^2)^2}{R^2 - I_1}} \quad (12)$$

Os campos magnéticos toroidal e poloidal são agora escritos na seguinte forma

$$B_\phi = I(\psi)/R \quad (13)$$

e

$$B_{pol} = \frac{1}{Ra} \left[ \frac{\partial \psi}{\partial z} - \frac{\partial \psi}{\partial R} \right] \quad (14)$$

Assim, tem-se cinco parâmetros de entrada para obter as quantidades de interesse envolvidas na solução de equilíbrio, que são  $d$ ,  $\beta_0$ ,  $\alpha$ ,  $\delta$  e  $b$ .

#### RESULTADOS E CONCLUSÕES

A figura 1 mostra o perfil de pressão, densidade de corrente, fator de segurança e campo magnético para  $d=0.6$ ,  $\beta_0=0.67$ ,  $\alpha=5.4$ ,  $\delta=0$  e  $b=1.12$ . É conveniente mencionar que  $\beta_0$ ,  $\delta$  e  $\alpha$  estão vinculados à condição (9) e, portanto, não podem ser variados arbitrariamente. Lembrando que  $\alpha = R_0^2 B_0 / B_{pol}$ , o valor numérico para esse parâmetro manteve-se entre 3.0 e 5.5. O que se observa é que aumentando  $\beta_0$  com os demais parâmetros fixos, destrói-se a estabilidade ( $q_m < 1$ ). Com  $\delta=0$ , obtém-se o maior valor possível de  $\langle \beta_t \rangle$ , que ficou por volta de 4.8%. Portanto, pode-se concluir que altos valores de  $\langle \beta_t \rangle$  ( $\approx 5\%$ ) podem ser conseguidos em tokamaks de baixa razão de aspecto (neste caso  $\epsilon=1.7$ ), o que é importante do ponto de vista de custo do projeto de construção de um tokamak<sup>6</sup>.

#### REFERÊNCIAS

- (1) SOLOVIEV, L.S. Soviet Physics JETP, 26, 2 (1968), 400.
- (2) GALVÃO, R.M.O. Equilíbrio MHD em Física do Plasma. Editado por Chian, A.L. e Reusch, M. Universidade Federal Fluminense, 1979.
- (3) BITTENCOURT, J.A. Fundamentals of plasma physics. Oxford, Pergamon Press, 1986, Capítulos 2 e 3.
- (4) BATEMANN, G. MHD Instabilities. The MIT Press, 1980.
- (5) FREIDBERG, J.P. Ideal Magnetohydrodynamics. Plenum Press, 1987. Capítulos 3, 5 e 6.
- (6) PENG, Y.K.M.; STRICKLER, D.J. Nuclear Fusion 26, 769 (1986).

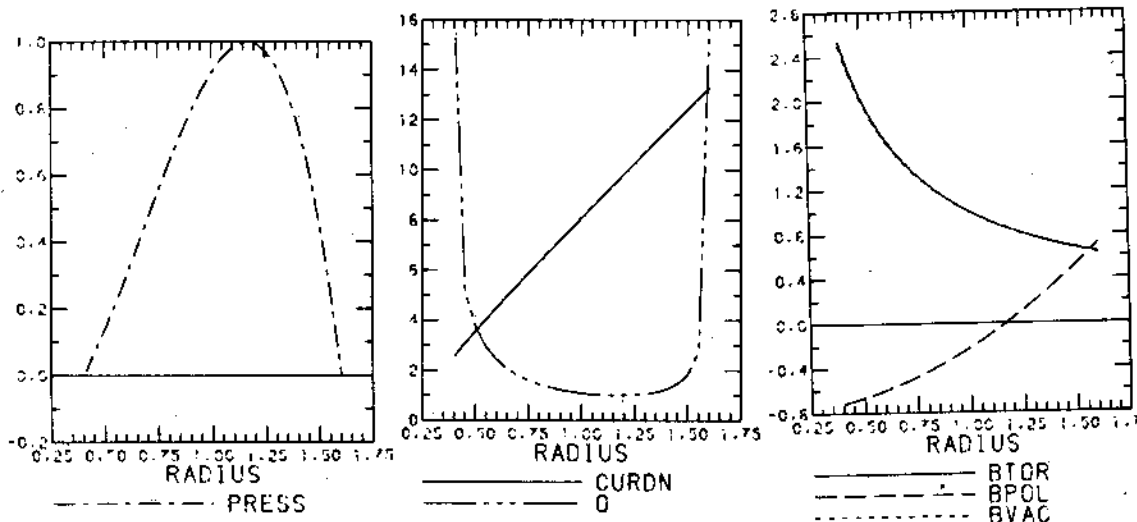


Figura 1 - Perfis de pressão, densidade de corrente, fator de segurança  $q(\psi)$  e campo magnético toroidal, poloidal e no vácuo, para  $d=0.6$ ,  $\beta_0=0.67$ ,  $\alpha=5.4$ ,  $\delta=0$  e  $b=1.12$ .